

Roboterkinematik

Rotation eines kantensachen Koordinatensystems

$${}^o\vec{r} = {}^oR \vec{r} \quad \text{resp.}$$

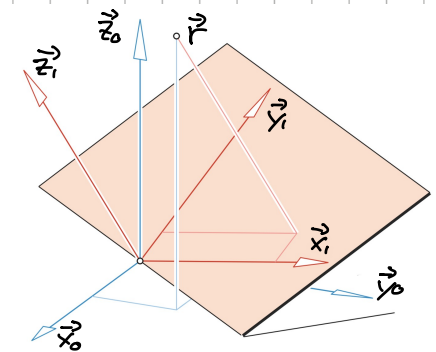
$$\begin{bmatrix} {}^o r_x \\ {}^o r_y \\ {}^o r_z \end{bmatrix} = \begin{bmatrix} r_{11} & r_{12} & r_{13} \\ r_{21} & r_{22} & r_{23} \\ r_{31} & r_{32} & r_{33} \end{bmatrix} \begin{bmatrix} {}^1 r_x \\ {}^1 r_y \\ {}^1 r_z \end{bmatrix}$$

oR kann wie folgt berechnet werden:

$${}^oR = \begin{bmatrix} \vec{x}_i \cdot \vec{x}_o & \vec{y}_i \cdot \vec{x}_o & \vec{z}_i \cdot \vec{x}_o \\ \vec{x}_i \cdot \vec{y}_o & \vec{y}_i \cdot \vec{y}_o & \vec{z}_i \cdot \vec{y}_o \\ \vec{x}_i \cdot \vec{z}_o & \vec{y}_i \cdot \vec{z}_o & \vec{z}_i \cdot \vec{z}_o \end{bmatrix}$$

Verkettung von Rotationen:

$${}^nR = {}^oR \cdot {}^1R \cdots {}^{n-1}R$$

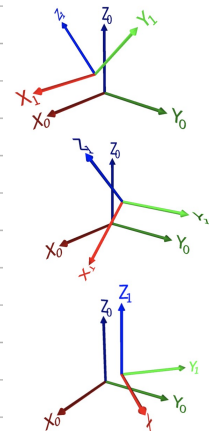


elementare Rotationen:

$$R_x(\theta) = \begin{bmatrix} 1 & 0 & 0 \\ 0 & \cos\theta & -\sin\theta \\ 0 & \sin\theta & \cos\theta \end{bmatrix}$$

$$R_y(\theta) = \begin{bmatrix} \cos\theta & 0 & \sin\theta \\ 0 & 1 & 0 \\ -\sin\theta & 0 & \cos\theta \end{bmatrix}$$

$$R_z(\theta) = \begin{bmatrix} \cos\theta & -\sin\theta & 0 \\ \sin\theta & \cos\theta & 0 \\ 0 & 0 & 1 \end{bmatrix}$$



Eulerwinkel

jede Rotation im \mathbb{R}^3 kann als Sequenz von höchstens 3 Rotationen um Koordinatenachsen betrachtet werden, wobei aufeinanderfolgende Rotationen um verschiedene Achsen erfolgen müssen

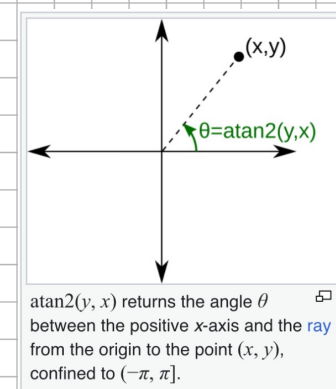
dann mit vorgebenen seien 12 mögliche Sequenzen

wenn Rotationen um alle 3 Achsen erfolgen spaltet man auch vom Viererwinkel

X-Y-Z	Z-Y-X	X-Y-X	X-Z-X
Y-Z-X	Y-X-Z	Y-X-Y	Y-Z-Y
Z-X-Y	X-Z-Y	Z-X-Z	Z-Y-Z

Z-Y-Z Eulerwinkel:

$$\begin{aligned} {}^oR &= R_z(\alpha) \cdot R_y(\beta) \cdot R_z(\gamma) = \begin{bmatrix} c\alpha & -s\alpha & 0 \\ s\alpha & c\alpha & 0 \\ 0 & 0 & 1 \end{bmatrix} \begin{bmatrix} c\beta & 0 & s\beta \\ 0 & 1 & 0 \\ -s\beta & 0 & c\beta \end{bmatrix} \begin{bmatrix} c\gamma & -s\gamma & 0 \\ s\gamma & c\gamma & 0 \\ 0 & 0 & 1 \end{bmatrix} \\ &= \begin{bmatrix} c\alpha \cdot c\beta \cdot c\gamma - s\alpha \cdot s\gamma & -c\alpha \cdot c\beta \cdot s\gamma - s\alpha \cdot c\gamma & c\alpha \cdot s\beta \\ s\alpha \cdot c\beta \cdot c\gamma + c\alpha \cdot s\gamma & -s\alpha \cdot c\beta \cdot s\gamma + c\alpha \cdot c\gamma & s\alpha \cdot s\beta \\ -s\beta \cdot c\gamma & s\beta \cdot s\gamma & c\beta \end{bmatrix} \end{aligned}$$

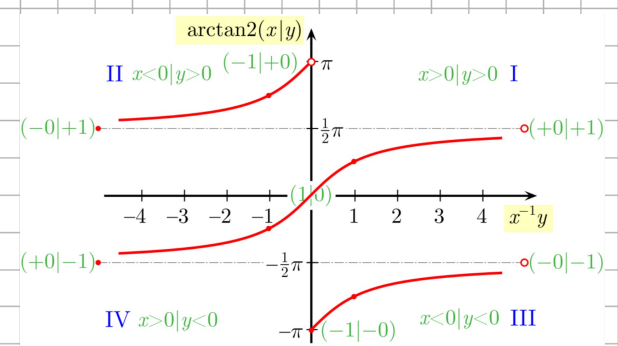


aus gegebener Rotationsmatrix Z-Y-Z Eulerwinkel bestimmen:

$$\beta = \arccos(r_{33})$$

$$\alpha = \operatorname{atan2}\left(\frac{r_{23}}{\sin(\beta)}, -\frac{r_{13}}{\sin(\beta)}\right)$$

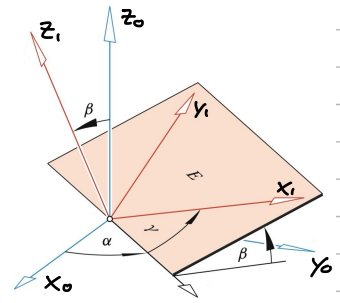
$$\gamma = \operatorname{atan2}\left(\frac{r_{32}}{\sin(\beta)}, \frac{-r_{31}}{\sin(\beta)}\right)$$



$Z-X-Z$ Drehwinkel:

$$\underline{R} = \underline{R}_z(\alpha) \cdot \underline{R}_x(\beta) \cdot \underline{R}_z(\gamma) = \begin{bmatrix} \cos\alpha & -\sin\alpha & 0 \\ \sin\alpha & \cos\alpha & 0 \\ 0 & 0 & 1 \end{bmatrix} \begin{bmatrix} 1 & 0 & 0 \\ 0 & \cos\beta & -\sin\beta \\ 0 & \sin\beta & \cos\beta \end{bmatrix} \begin{bmatrix} \cos\gamma & -\sin\gamma & 0 \\ \sin\gamma & \cos\gamma & 0 \\ 0 & 0 & 1 \end{bmatrix}$$

$$= \begin{bmatrix} \cos\alpha & -\sin\alpha \cos\beta & \sin\alpha \sin\beta \\ \sin\alpha & \cos\alpha \cos\beta & -\cos\alpha \sin\beta \\ 0 & \sin\beta & \cos\beta \end{bmatrix} \begin{bmatrix} \cos\alpha \cos\gamma & -\sin\alpha \cos\gamma & -\sin\alpha \sin\gamma \\ \sin\alpha \cos\gamma & \cos\alpha \cos\gamma & \cos\alpha \sin\gamma \\ \sin\beta \cos\gamma & \sin\beta \sin\gamma & \cos\beta \end{bmatrix}$$

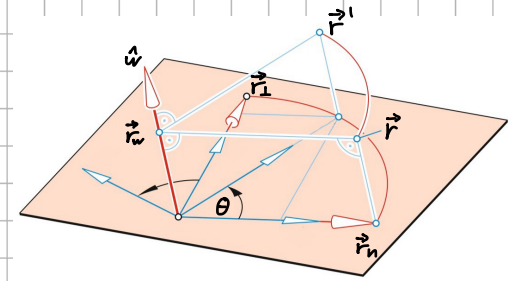


Falls umgekehrt eine Position des Rechtsachsenortes (x_1, x_2, x_3) gegeben ist so sind bei linear unabhängigen $\{z_0, z_1\}$ die zugehörigen Euler'schen Drehwinkel eindeutig bestimmt sofern innerhalb deren Grenzen mit $0^\circ \leq \alpha < 360^\circ$, $0^\circ \leq \beta \leq 180^\circ$, $0^\circ \leq \gamma < 360^\circ$ festgesetzt

Drehwinkel und Drehvektor

jede Rotation im \mathbb{R}^3 kann mit Drehwinkel θ um Drehvektor \hat{w} (Einheitsvektor) beschrieben werden

$$\begin{aligned} \vec{r}' &= \vec{r}_w + \cos\theta \vec{r}_n + \sin\theta \vec{r}_l \\ &= (\hat{w} \cdot \vec{r}) \hat{w} + \cos\theta (\vec{r} - \vec{r}_n) + \sin\theta (\hat{w} \times \vec{r}_n) \\ &= ((\hat{w} \hat{w}^T) + \cos\theta (\mathbf{E}_3 - \hat{w} \hat{w}^T) + \sin\theta \underline{S}_{\hat{w}}) \vec{r} \\ &= \underline{R}_{\hat{w}, \theta} \vec{r} \quad \text{wobei } \underline{S}_{\hat{w}} = [[0, -w_z, w_y], [w_z, 0, -w_x], [-w_y, w_x, 0]] \end{aligned}$$



$$\theta = \arccos\left(\frac{r_{11} + r_{22} + r_{33} - 1}{2}\right), \quad \begin{bmatrix} w_x \\ w_y \\ w_z \end{bmatrix} = \frac{1}{2\sin\theta} \begin{bmatrix} r_{32} - r_{23} \\ r_{13} - r_{31} \\ r_{21} - r_{12} \end{bmatrix}$$

Quaternionen (auch: hamiltonsche Quaternionen / Hamilton-Zahlen)

$$\mathbb{H} = \{a + bi + cj + dk \mid a, b, c, d \in \mathbb{R}\} \quad a = \text{Skalarteil}, \quad bi + cj + dk = \text{Vektorteil}$$

$$\text{Hamil/Ham-Rgeln: } ij = -ji = k, \quad jk = -kj = i, \quad ki = -ik = j, \quad i^2 = j^2 = k^2 = -1$$

vierdimensionaler Vektorraum über \mathbb{R} mit Basis $1, i, j, k$

assoziativ, distributiv aber nicht kommutativ bez. Multiplikation («Schielkörper»)

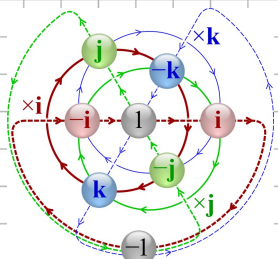
Rotationen im \mathbb{R}^3 können mit Quaternionen dargestellt werden:

$$E = E_0 + E_1 \cdot i + E_2 \cdot j + E_3 \cdot k$$

Können aus Drehwinkel & -vektoren oder aus Rotationsmatrix berechnet werden:

$$E_0 = \cos(\theta/2), \quad E_1 = w_x \sin(\theta/2), \quad E_2 = w_y \sin(\theta/2), \quad E_3 = w_z \sin(\theta/2)$$

$$E_0 = \frac{1}{2} \sqrt{1 + r_{11} + r_{22} + r_{33}}, \quad E_1 = \frac{r_{32} - r_{23}}{4E_0}, \quad E_2 = \frac{r_{13} - r_{31}}{4E_0}, \quad E_3 = \frac{r_{21} - r_{12}}{4E_0}$$



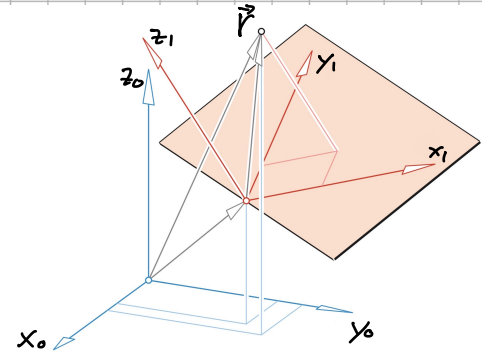
Rotationsmatrix aus Quaternionen berechnen:

$$\underline{R} = \begin{bmatrix} 1 - 2(E_2^2 + E_3^2) & 2(E_1 E_2 - E_0 E_3) & 2(E_1 E_3 + E_0 E_2) \\ 2(E_1 E_2 + E_0 E_3) & 1 - 2(E_1^2 + E_3^2) & 2(E_2 E_3 - E_0 E_1) \\ 2(E_1 E_3 - E_0 E_2) & 2(E_2 E_3 + E_0 E_1) & 1 - 2(E_1^2 + E_2^2) \end{bmatrix}$$

Rotation und Translation

Koordinaten eines Punktes vom verschobenen, gedrehten Koordinatensystem $(\vec{x}_i, \vec{y}_i, \vec{z}_i)$ ins Basisystem $(\vec{x}_0, \vec{y}_0, \vec{z}_0)$ umrechnen:

$$\vec{oP} = {}^0\vec{p} + {}^0R \cdot {}^i\vec{r} \quad \text{mit} \quad {}^i\vec{p} = \begin{bmatrix} {}^0p_x \\ {}^0p_y \\ {}^0p_z \end{bmatrix}, \quad {}^0R = \begin{bmatrix} r_{11} & r_{12} & r_{13} \\ r_{21} & r_{22} & r_{23} \\ r_{31} & r_{32} & r_{33} \end{bmatrix}$$



homogene Transformation

Rotation und Translation können in einer einzigen Matrix-Multiplikation zusammengefasst werden:

$$\vec{oP} = {}^0\vec{p} + {}^0R \cdot {}^i\vec{r} \iff \begin{cases} {}^0R \cdot {}^i\vec{r} + {}^0\vec{p} \cdot 1 = \vec{oP} \\ {}^0T \cdot {}^i\vec{r} + 1 \cdot 1 = 1 \end{cases} \iff \begin{bmatrix} \vec{oP} \\ 1 \end{bmatrix} = \begin{bmatrix} {}^0R & {}^0\vec{p} \\ {}^0T & 1 \end{bmatrix} \cdot \begin{bmatrix} {}^i\vec{r} \\ 1 \end{bmatrix}$$

$$\begin{bmatrix} {}^0p_x \\ {}^0p_y \\ {}^0p_z \\ 1 \end{bmatrix} = \begin{bmatrix} r_{11} & r_{12} & r_{13} & {}^0p_x \\ r_{21} & r_{22} & r_{23} & {}^0p_y \\ r_{31} & r_{32} & r_{33} & {}^0p_z \\ 0 & 0 & 0 & 1 \end{bmatrix} \cdot \begin{bmatrix} {}^i\vec{r}_x \\ {}^i\vec{r}_y \\ {}^i\vec{r}_z \\ 1 \end{bmatrix} \quad \text{resp.} \quad \begin{bmatrix} \vec{oP} \\ 1 \end{bmatrix} = {}^0T \cdot \begin{bmatrix} {}^i\vec{r} \\ 1 \end{bmatrix}$$

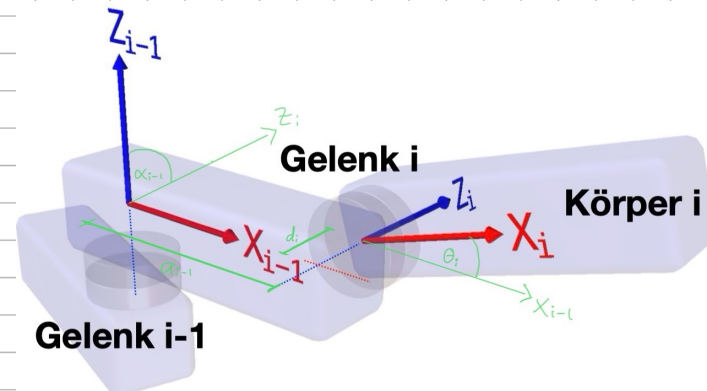
Verkettung von Transformationen:

$$\boxed{\begin{bmatrix} \vec{oP} \\ 1 \end{bmatrix} = {}^0T \cdot {}^1T \cdots {}^{n-1}T \cdot \begin{bmatrix} \vec{iP} \\ 1 \end{bmatrix} = {}^0T \cdot \begin{bmatrix} \vec{iP} \\ 1 \end{bmatrix}}$$

Denavit-Hartenberg Parameter

4 Parameter von einem Gelenk zum nächsten:

- α_{i-1} = Winkel (Z_{i-1}, Z_i) um X_i -Achse \rightarrow Rotation
- d_{i-1} = Distanz (Z_{i-1}, Z_i) entlang X_i -Achse \rightarrow Translation
- θ_i = Winkel (X_{i-1}, X_i) um Z_i -Achse \rightarrow Rotation
- d_i = Distanz (X_{i-1}, X_i) entlang Z_i -Achse \rightarrow Translation



damit kann wiederum die entsprechende Transformationsmatrix berechnet werden:

$${}^{i-1}T = \underline{\text{Rot}}(x, \alpha_{i-1}) \cdot \underline{\text{Trans}}(x, d_{i-1}) \cdot \underline{\text{Rot}}(z, \theta_i) \cdot \underline{\text{Trans}}(x, d_i)$$

$$= \begin{bmatrix} \cos(\theta_i) & -\sin(\theta_i) & 0 & \alpha_{i-1} \\ \cos(\alpha_{i-1}) \cdot \sin(\theta_i) & \cos(\alpha_{i-1}) \cdot \cos(\theta_i) & -\sin(\alpha_{i-1}) & -d_i \cdot \sin(\alpha_{i-1}) \\ \sin(\alpha_{i-1}) \cdot \sin(\theta_i) & \sin(\alpha_{i-1}) \cdot \cos(\theta_i) & \cos(\alpha_{i-1}) & d_i \cdot \cos(\alpha_{i-1}) \\ 0 & 0 & 0 & 1 \end{bmatrix}$$

Vorteile:

- Transformation zw. 2 Körpern d. Roboters kann mit nur 4 Parametern beschrieben werden
- werden von vielen Software-tools für Modellierung von Robotern verwendet

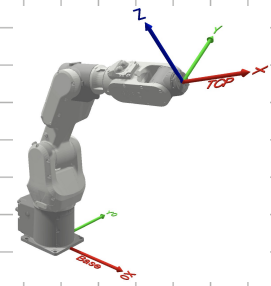
Nachteile gegenüber direktem Definieren von 4×4 Transformationsmatrizen:

- Platzieren d. Koordinatensystems ist trivial
- Verfahren ist n. eindeutig: gibt verschiedene Definitionen und es sind auch mehrere Lösungen möglich
- Basis- und Werkzeug-Koordinatensysteme n. vorgesehen und müssen separat korrespondenzfähig sein

Vorwärtskinematik

mit Gleichungen der Vorwärtskinematik können Position und Orientierung des Werkzeuges aus bekannten (gemessenen) Gelenkwinkel berechnet werden:

$$\vec{x} = f(\vec{\theta})$$



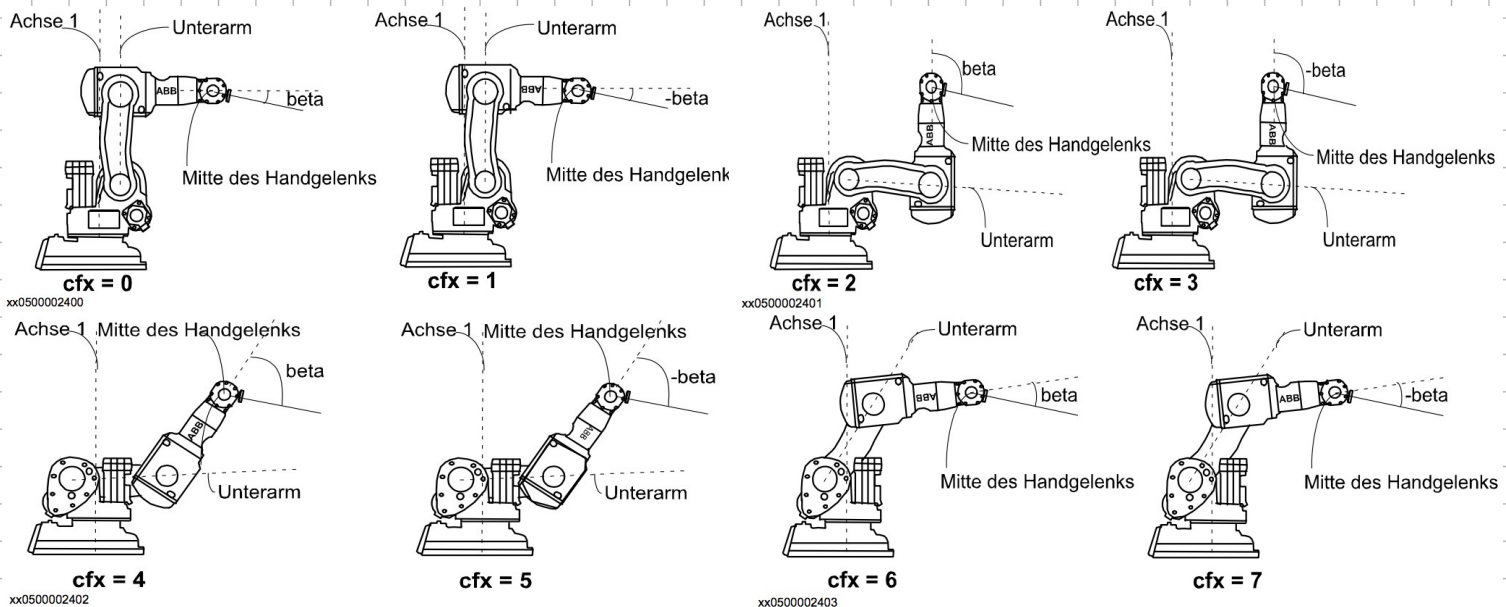
Rückwärtsskinematik

mit Gleichungen der Rückwärtsskinematik können Gelenkwinkel aus gewünschter Position und Orientierung des Werkzeuges berechnet werden:

$$\vec{\theta} = f^{-1}(\vec{x})$$

Industrieroboter oft so konstruiert dass Gleichungen symbolisch berechnet werden können

gibt meistens mehrere Lösungen, beim ABB IRB1100 gibt es 8 Konfigurationen:



bei kartesischen Bewegungen muss man beachten, dass Anfangs- und Endlage dieselbe Konfiguration haben, da beim Wechsel von Konfigurationen singuläre Lagen auftreten!

Parallelroboter

Vorgehensweise & Schwierigkeiten bei Herleitung der Koordinatentransformation ist bei Parallelrobotern umgekehrt wie bei Robotern mit seriellen kinematischen Ketten:

- Gleichungen der Rückwärtsskinematik lösen nur normalweise relativ einfach handelbar werden
- Gleichungen der Vorwärtskinematik können i. A. nicht in symbolischer Form berechnet werden

Gelenkgeschwindigkeiten

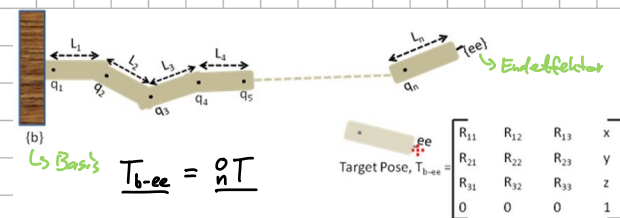
Werkzeuggeschwindigkeit aus Gelenkgeschwindigkeiten:

$$\vec{x} = f(\vec{\theta}) \Rightarrow \dot{\vec{x}} = Jf(\vec{\theta}) \cdot \dot{\vec{\theta}}$$

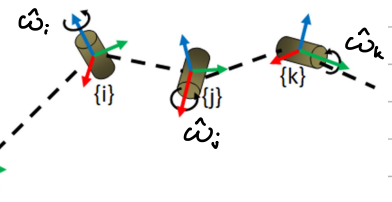
$$\begin{bmatrix} \dot{x} \\ \dot{y} \\ \dot{z} \\ \dot{\alpha} \\ \dot{\beta} \\ \dot{\gamma} \end{bmatrix} = \begin{bmatrix} J_r \\ J_\omega \end{bmatrix} \cdot \begin{bmatrix} \dot{\theta}_1 \\ \vdots \\ \dot{\theta}_n \end{bmatrix}$$

$$J_r = \begin{bmatrix} \frac{\partial x}{\partial \theta_1} & \dots & \frac{\partial x}{\partial \theta_n} \\ \frac{\partial y}{\partial \theta_1} & \dots & \frac{\partial y}{\partial \theta_n} \\ \frac{\partial z}{\partial \theta_1} & \dots & \frac{\partial z}{\partial \theta_n} \end{bmatrix} \in \mathbb{R}^{3 \times n}$$

$$J_\omega = \begin{bmatrix} \hat{\omega}_1^b & \dots & \hat{\omega}_n^b \end{bmatrix} \in \mathbb{R}^{3 \times n}$$



$$T_{b-ee} = \underline{^o T}$$



$\hat{\omega}_i^b$ ist die Rotationsachse des i-ten Gelenks in Bezug auf das Basis-Koordinatensystem

$\hat{\omega}_i^b$ entspricht den ersten 3 Einträgen der j-ten Spalte von ${}^o T$, dessen korrespondierende Achse der Rotationsachse entspricht, denn es gilt $\hat{\omega}_i^b = {}^b R \hat{\omega}_i^b$ und $\hat{\omega}_i^b$ ist ein Standardbasis-Vektor \rightarrow zieht die richtige Spalte heraus

Gelenkgeschwindigkeiten aus Werkzeuggeschwindigkeit:

$$\dot{\vec{\theta}} = Jf^{-1}(\vec{\theta}) \cdot \dot{\vec{x}}$$

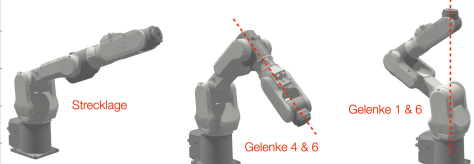
dazu muss Inverse der Jakobi berechnet werden, was nur möglich ist falls:

- Jakobi quadratisch ist
- Jakobi vollen Rang hat (Zeilen/Spalten u. lin. abh. voneinander) \Rightarrow Determinante darf nicht 0 sein

falls Jakobi in gewisser Lage u. invertierbar ist, nennt man dies eine singuläre Lage
die Beweglichkeit in kartesischen Koordinaten ist dann eingeschränkt

typische Singularitäten:

- Strecklage
- 2 Drehachsen fluchtend (schwieriger vorzubringen)

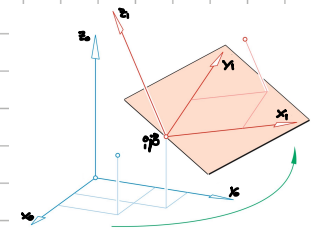


Roboterdynamik

Bewegungsgleichung eines Systems mit einem Antrieb ist gegeben durch

$$\boxed{F = m\ddot{v} + f_v v + f_c \text{sign}(v) + g} \quad \text{<<inverse Dynamik>>}$$

wobei f_{vc} den viskosen / coulombischen Reibungskoeffizienten und g das Gewicht bezeichnet



inverse Dynamik berechnet Antriebskraft für gegebene Bewegung

Anwendungen:

- Auslegung von Antrieben
- Versteinerung zur Verbesserung des Bahnholverhaltens (Regelung mit Kompensation der dynamischen Kräfte)

Bewegungsgleichung kann man nach α auflösen und erhält

$$\boxed{\alpha = \frac{1}{m} (F - f_v v - f_c \text{sign}(v) - g)} \quad \text{<<direkte Dynamik>>}$$

welche die Bewegung für gegebene Antriebskraft berechnet

Anwendung: z.B. Simulation von Systemen

Mehrkörpersystem

allgemeine Form der Bewegungsgleichung für Mehrkörpersysteme ist gegeben durch

$$\vec{\tau} = \underline{M}(\vec{\theta}) \ddot{\vec{\theta}} + \underline{V}(\vec{\theta}, \dot{\vec{\theta}}) \dot{\vec{\theta}} + \vec{F}(\vec{\theta}) + \vec{G}(\vec{\theta}) + \underline{JX}(\vec{\theta}) \vec{f}$$

wobei \underline{M} die Massamatrix, $\vec{\theta}$ die Gelenkwinkel, \vec{V} geschwindigkeitsabh. Terme, \vec{F} Reibungskräfte, \vec{G} Gewichtskräfte, \underline{JX} die Jacob-Matrix der Vierviertelkoordinate und \vec{f} den Kraftvektor am TCP (Tool Centre Point) darstellen

auch diese Gleichung kann in die (für die Berechnung der Bewegung bei gegebenen Gelenkwinkeln benötigte) direkte Dynamik umgeformt werden:

$$\ddot{\vec{\theta}} = \underline{M}(\vec{\theta})^{-1} (\vec{\tau} - \underline{V}(\vec{\theta}, \dot{\vec{\theta}}) \dot{\vec{\theta}} - \vec{F}(\vec{\theta}) - \vec{G}(\vec{\theta}) - \underline{JX}(\vec{\theta}) \vec{f})$$

Bewegungsgleichungen von Mehrkörpersystemen in kantonalen Koordinaten:

$$\vec{F} = \underline{M}(\vec{x}) \ddot{\vec{x}} + \underline{V}(\vec{x}, \dot{\vec{x}}) \dot{\vec{x}} + \vec{F}(\vec{x}) + \vec{G}(\vec{x})$$

$$\vec{\tau} = \underline{JX}(\vec{x})^T (\underline{M}(\vec{x}) \ddot{\vec{x}} + \underline{V}(\vec{x}, \dot{\vec{x}}) \dot{\vec{x}} + \vec{F}(\vec{x}) + \vec{G}(\vec{x}))$$

Kalman-Filter

Problem klassischer Filter: bei stark verzerrten Signalen bricht Tiefpass \Rightarrow Phasenverzerrungen
 ↳ (ehn) Ansatz: modellbasierte Filter

Normalerweise setzt lineares System (in ZDR) voraus, gibt aber auch modifizierte Kalman-Filter (Extended Kalman Filter) für nichtlineare Systeme (z.B. kinematische mobile Roboter)

Lineares System:

$$\begin{aligned}\vec{x}_k &= \underline{A} \vec{x}_{k-1} + \underline{B} \vec{u}_{k-1} + \vec{w}_k \\ \vec{z}_k &= \underline{H} \vec{x}_{k-1} + \vec{v}_k\end{aligned}$$

\vec{x}_k	Zustandsvektor
\vec{u}_k	Steuergröße
\vec{z}_k	Messungen
\vec{w}_k	Prozessrauschen
\vec{v}_k	Messrauschen

Prozessrauschen \vec{w}_k und Messrauschen \vec{v}_k sind aber nicht bekannt \rightarrow Gleichungen können in dieser Form also nicht bearbeitet werden

↪ Rauschen muss mit Kovarianzmatrizen beschreibbar werden ($\vec{w}_k \rightarrow \underline{Q}$, $\vec{v}_k \rightarrow \underline{R}$):

$$\underline{Q}_k = \underline{B} E\{\vec{w}_k \vec{w}_k^T\} \underline{B}^T$$

$$\underline{R}_k = E\{\vec{v}_k \vec{v}_k^T\}$$

\vec{v}_k Sensoren

Prädiktion

$$\vec{\hat{x}}_k = \underline{A} \vec{\hat{x}}_{k-1} + \underline{B} \vec{u}_{k-1}$$

Schätzung Zustand

$$\underline{P}_k = \underline{A} \underline{P}_{k-1} \underline{A}^T + \underline{Q}$$

Kovarianz-Matrix Zustand (Streuheit Schätzung)

Korrektur

$$\underline{K}_k = \underline{P}_k \underline{H}^T (\underline{H} \underline{P}_k \underline{H}^T + \underline{R})^{-1}$$

Kalman-Matrix

$$\vec{\hat{x}}_{k,\text{corr}} = \vec{\hat{x}}_k + \underline{K}_k (\vec{z}_k - \underline{H} \vec{\hat{x}}_k)$$

Korrektur Schätzung Zustand

$$\underline{P}_{k,\text{corr}} = (\mathbb{I} - \underline{K}_k \underline{H}) \underline{P}_k$$

Korrektur Kovarianzmatrix-Matrix Zustand

Tuning

mit Kovarianz-Matrizen \underline{Q} (\rightarrow Prozessrauschen) und \underline{R} (\rightarrow Messrauschen)

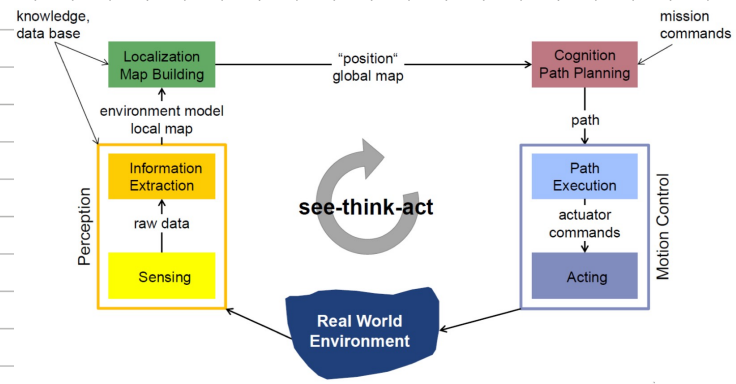
$\underline{R} \rightarrow$ Standardabweichungen Sensoren

$\underline{Q} \rightarrow$ Schätzgen oder (mit etwas Aufwand) experimentell bestimmen

Mobile Roboter

3 zentrale Fragen:

- Where am I? → Lokalisierung
- Where am I going?
- How do I get there? → Navigation



Navigation := automatische Bestimmung Weg aktuelle Position zu Ziel ohne Karte (rektive Navigation)

Bug-Algorithmen:

- gerade Linie von Start- zu Zielposition berechnen
- Bewegung entlang Linie
- bei Hindernis folgt im Uhrzeigersinn dem Hindernis bis wieder auf Linie
- wenn Position auf Linie näher am Ziel als beiden Verläufen der Linie → folgt wieder Linie

mit Gitterkarte

Distanztransformation:

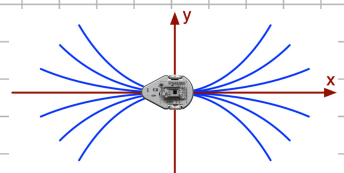
- von Ziel aus den befahrbaren Zellen einen Distanzwert zuweisen ($=1$ für direkte, $=\sqrt{2}$ für diagonale Nachbarn)
- Bewegung entlang Gradient der Distanzwerte
- rechenarbeitsintensiv
- findet optimalem/kürzestem Weg vom Start zu Ziel

Probabilistic Roadmaps Method (PRM):

- Möglichkeit den grossen Rechenaufwand d. Distanztransformation zu reduzieren
- zu fällig Knoten einer Metakarte innerhalb Gitterkarte verteilen (nicht auf Hindernisse)
- gesundlinige Verbindungen mit Distanzangaben zwischen allen Knoten (sollen keine Hindernisse berühren)
- Berechnung kürzester Weg entlang Verbindungen

Rapidly-Exploring Random Tree (RRT):

- Verbindungen müssen auf Kreissegmenten liegen
- für beliebige Kinematik geeignet



mit topologischer Karte (Netzkarte)

topologische Karte = gerichtetes (mit Distanz oder irgendwie quantifizierbares Mass (Fahrzeit, Energieverbrauch, Kosten) Graph

Algorithmus von Dijkstra:

- allen Knoten kürzeste Distanz zum Startknoten zuweisen
↳ allenfalls kontinuieren
- für jeden Knoten muss man sich zumindest überprüfen, von welchem benachbarten Knoten aus dieser Knoten erreicht werden muss, damit die Distanzangabe dieses Knotens gültig ist

```

1 function Dijkstra(Graph, source):
2
3     for each vertex v in Graph.Vertices:
4         dist[v] ← INFINITY
5         prev[v] ← UNDEFINED
6         add v to Q
7         dist[source] ← 0
8
9     while Q is not empty:
10        u ← vertex in Q with minimum dist[u]
11        remove u from Q
12
13        for each neighbor v of u still in Q:
14            alt ← dist[u] + Graph.Edges(u, v)
15            if alt < dist[v]:
16                dist[v] ← alt
17                prev[v] ← u
18
19    return dist[], prev[]

```